

# تحلیل هندسی و جنبشی نیمه باختری گسل میامی

نوشته: فریده باقری<sup>\*</sup>, عبدالله سعیدی<sup>\*\*</sup> و سهیلا بوذری<sup>\*\*\*</sup>

<sup>\*</sup>سازمان زمین شناسی و اکتشافات معدنی کشور، گروه اطلاعات زمین مرجع، تهران، ایران

<sup>\*\*</sup>پژوهشکده علوم زمین، سازمان زمین شناسی و اکتشافات معدنی کشور، تهران، ایران

<sup>\*\*\*</sup>دانشگاه آزاد اسلامی، واحد تهران شمال، دانشکده علوم پایه، تهران، ایران

## Geometrical and Kinematic Analysis of Western Half of Meyamey Fault

By: F. Bagheri\*, A. Saeidi\*\* & S. Bouzari\*\*\*

\*GIS Group, Geological Survey of Iran, Tehran, Iran

\*\*Research Institute of Earth Sciences, Geological Survey of Iran, Tehran, Iran

\*\*\* Islamic Azad University, North Tehran Branch, Science Faculty, Tehran, Iran

تاریخ دریافت: ۱۳۸۵/۱۱/۲۱

تاریخ پذیرش: ۱۳۸۶/۰۳/۰۹

### چکیده

گسل میامی از گسل‌های اصلی شمال خاوری ایران است که در تکوین حوضه‌های رسوی و ریخت‌شناسی منطقه تأثیر مهمی داشته و پدیده‌های ریخت‌زمین‌ساختی گوناگونی به وجود آورده است. وجود این گسل در منطقه، موجب پیدایش ساختهای گوناگون شده و منطقه را از دیدگاه مطالعات زمین‌شناسی ساختاری، رفتار گسل‌ها و پایانه‌های آن، برهم‌کنش گسل‌ها و ارتباط میان چین‌خوردگی و گسلش به محدوده قابل توجهی تبدیل کرده است. برداشت‌های انجام گرفته در بخش باختری گسل میامی، راستای گسل‌ها را به طور کلی NE و با شیب بیش از ۵۰ درجه و خط خش با میل کم نشان می‌دهد. راستای چین‌ها در این محدوده از روند کلی گسل‌ها پیروی می‌کنند. محور اصلی بیشینه محاسبه شده بر روی گسل ارمیان روند NE و در گسل میامی و گسل قدس روند SE دارد و افقی است. همچنین گسل میامی در بخش باختری، با گسل چاه سیدآباد پهنه برشی را ایجاد می‌کند که شکستگی‌های نوع X و R در آن قابل تشخیص است.

**کلیدواژه‌ها:** گسل میامی، محور تنش اصلی بیشینه، زون برشی، گسل کج لغز، پله‌های گسلی، درزهای کششی

### Abstract

Meyamey fault, one of the major faults in the northeast of Iran, has played an important role in the regional depositional basin development and created many geomorphologic features. This fault has proved to be an important subject for study in terms of structural geology, fault mechanisms, fault interactions and the relation between faults and folds. Field measurements in the eastern part of the Meyamey fault zone depict that faults are mainly striking towards NE with dips of up to 50° and gentle lineation. Folds also follow the same trend. Calculated maximum stress axis in Armain fault is in NE direction, whereas in Meyamey and Ghods faults are in SE direction and are horizontal. Moreover, in the eastern Meyamey fault area, this fault shear zone Chah Seidabad fault, in which X and R,  $\bar{R}$  fractures are evident.

**Key words:** Meyamey fault, Maximum main axis, Shear zone, Oblique fault, Step fault, Extension joint



## مقدمه

کرتاسه پیشین شده‌اند. شکل ۳ موقعیت گسل‌های ارمیان و قدس را نسبت به گسل اصلی میامی نشان می‌دهد.

چین خوردگی‌های این محدوده بیشتر در بین صفحات گسلی جای گرفته‌اند و در بیشتر موارد به موازات گسل‌های اصلی و یا با زاویه کمی نسبت به آنها قرار می‌گیرند. سازوکار این چین‌ها بیشتر از نوع خمشی لغزشی می‌باشد.

### برداشت داده‌ها

به منظور مطالعه ساختاری تکه باختری گسل میامی از این محدوده در مجموع تعداد ۸۷ داده سطح گسل‌ها از منطقه برداشت شد. داده‌های برداشت شده شامل برداشت صفحات گسلی و خط‌خش‌های مربوط به آنها و همچنین تشخیص سازوکار گسل‌های برداشت شده با استفاده از پله‌های گسلی، درزه‌های کششی، تول‌مارک‌ها، چین‌های کشسان و مانند آن در منطقه است (شکل‌های ۴، ۵، ۶ و ۷).

### تحلیل داده‌ها

#### تحلیل قنش

برداشت‌های صورت گرفته از این محدوده به سه قسمت گسل اصلی میامی و شاخه‌های آن (ارمیان و قدس) تقسیم گردید.

شکل ۸ نمودار گل سرخی، نمودار هوپنر (Hoppner) و محورهای اصلی محاسبه شده به روش p-t axess p-t مربوط به گسل‌های برداشت شده از این سه محدوده را نشان می‌دهد. راستای گسل‌ها در بخش اصلی گسل میامی NE تا E-SE و در شاخه‌های ارمیان و قدس به ترتیب E-NE و NE-N است. نمودارهای هوپنر نمایش داده شده قطب گسل‌ها و پیکان‌های روی آنها سوی حرکت فرادیواره را نسبت به فرو Dionar نشان می‌دهند. محورهای اصلی محاسبه شده در بخش گسل میامی فشارش ESE و در محدوده‌های ارمیان و قدس به ترتیب فشارش SSE و NNE را نشان می‌دهند. در این سه منطقه مؤلفه راستالغز غالب مشاهده می‌شود.

### تفکیک فاز

در طی سال‌های گذشته روش‌های متفاوتی برای بازسازی تنش دیرین ارائه شده است Carey & Brunier, 1974; Angelier, 1979; Nemcok & Lisle, 1995; (Gephart, 1984; Etchecopar, 1981; Fry, 1999) تنش دیرین در این پژوهش با استفاده از روش هندسی (Fry 2000) صورت پذیرفت. اطلاعات مورد نیاز در این روش عبارتند از: راستای صفحه گسل، شب صفحه گسل (۸)، ریک خط خش (۸)، سوی برش. همه این اطلاعات

گسل میامی با راستای شمال خاوری - جنوب باختری مرز جدا کننده پهنه بینالود (البرز خاوری) از ایران مرکزی است. حد خاوری آن فورفتگی ناچیه تربت شیخ جام است و ممکن است دنباله گسل هرات در افغانستان باشد (نبوی، ۱۳۵۵). مرز باختری این گسل در جنوب باختری شاهرود، در زیر رسوابات عهد حاضر و کویر دامغان نایدید می‌شود ولی ممکن است گسل عطاری در فاصله نزدیک به ۱۰۰ کیلومتری، ادامه باختری آن باشد. مرز شمالی این گسل بیشتر زمین‌های آبرفتی و کوهپایه‌ای است ولی مرز جنوبی آن کوهستانی و در برخی نقاط جدا کننده آمیزه‌های آفیولیتی از واحدهای دیگر است (آقاباتی، ۱۳۸۳). گسل میامی تا آخرین مراحل چین خوردگی آپی در پلیوسن حالت راست برداشته است (استامپلی، ۱۹۷۸ در آقاباتی، ۱۳۸۳).

این محدوده در شمال ایران مرکزی بین طول جغرافیایی  $55^{\circ}$  تا  $55^{\circ} 30'$  و  $56^{\circ}$  خاوری و عرض جغرافیایی  $36^{\circ}$  تا  $37^{\circ} 00'$  شمالی واقع شده است. حد شمالی گسل میامی با واحدهای نوژن و آبرفت‌های عهد حاضر پوشیده شده که واحدهای راسته در بخش جنوبی توسط این گسل بر روی آنها رانده شده است (شکل ۱). در منطقه مورد مطالعه، عناصر اصلی ساختاری شامل گسل‌ها و چین خوردگی‌های وابسته به گسل‌ش هستند. الگوی جایه‌جایی منطقه از نوع برشی - فشارشی است و روند ساخت‌های منطقه بیشتر شمال خاوری - جنوب باختری است و به تقریب از روند البرز خاوری پیروی می‌کند.

### گسل میامی

گسل میامی با طولی بیش از ۱۵۰ کیلومتر در حقیقت یک پهنه گسلی (متشكل از چند گسل به موازات یکدیگر) است که روند کلی آن N $75^{\circ}$  است و شب آن متغیر و در سطح زمین نزدیک به  $85^{\circ}$  تا  $75^{\circ}$  درجه به سمت جنوب است (در دیش زاده، ۱۳۷۰). این گسل آهک‌های کرتاسه را بر روی نهشته‌های جوان کواترنری و نوژن رانده است (شکل ۲).

این گسل راستا امتداد لغز راست بر و مؤلفه‌ای شب لغز از نوع معکوس یا راندگی دارد و در مجموع می‌توان آن را از نوع گسل‌های اُریب لغز معرفی کرد. گسل میامی در نیمة باختری دارای راستای NE-NE بوده و حرکت آن به صورت راندگی است. گسل اصلی میامی در بخش جنوب باختری شهر میامی به شاخه‌های گسلی با روند شمال خاور تبدیل شده و خاتمه می‌یابد. به نظر می‌رسد این شب در ژرفای زمین کاهش می‌یابد. گسل‌های ارمیان و قدس از جمله شاخه‌های گسل میامی هستند که راستای گسل‌های فوق به سمت شمال خاوری با یکدیگر زاویه ساخته‌اند. مطالعات پیشین نشان داده است که این گسل‌های راست بر می‌باشند و حتی شب جایه‌جایی روند ستیغ سنگ آهک‌های



- اگر شیب بیش از ۷۵ درجه و ریک کمتر از ۱۵ درجه باشد، گسل نباید در این آزمایش آورده شود. تنش ایجاد کننده آن ممکن است اندرسوئی باشد و ممکن است قیدهای مفیدی در جهت یافته‌گی تنش افقی ارائه کند اما نمی‌تواند برای توصیف شرکت کند (Celerier, 1995).

$$d/r = y = (\sigma_{h1} + \sigma_{h2} - 2\sigma_v) / \sigma_{h1} - \sigma_{h2}$$

- گسل‌هایی با شیب بیشتر از ۶۰ درجه و ریک بین صفر تا ۳۰ درجه که در مرحله پیش حذف نشده‌اند ممکن است در ناهمخوانی‌های بزرگ‌تر از دو برابر خطای اندازه‌گیری عادی قابل قبول باشند. اما در توضیح همخوانی بین نمودارهای راستا و راهنمای ریک نسبت به داده‌های دیگر ترجیح داده نمی‌شود.

- هنگامی که این گسل‌ها کنار گذاشته شدن، ناهمخوانی اضافی در دو برابر خطای ممکن از اندازه‌گیری‌های اصلی اگر کوچک باشد، بیانگر این است که فرضیه حرکت در پاسخ به یک حالت تنش اندرسوئی واحد، فقط یک برآورد است و اگر این ناهمخوانی بزرگ باشد، بیانگر ناهمخوانی با تنش اندرسوئی است که با موقعیت نسبی و جهت یافته‌گی دو نمودار ارائه می‌شود. از این محدوده در مجموع ۹۳ داده لغزش گسلی به همراه خط‌خش‌های آن برداشت شد که از این میان ۳۲ گسل با توجه به ناهمخوانی‌های ذکر شده در بخش‌های قبلی حذف شد (گسل‌های با شیب کمتر از ۱۲ درجه، گسل‌های با شیب بیش از ۶۰ درجه و ریک ۰ تا ۳۰ درجه). از ۶۱ گسل باقیمانده تنها ۱۲ گسل سازوکار عادی داشته و بقیه گسل‌ها سازوکار معکوس دارند بنابراین به دلیل تعداد کم گسل‌های عادی برداشت شده تفکیک فاز در این گسل‌ها ممکن نبود و این گسل‌ها حذف شدند. به این ترتیب روش فرای تنها برای ۴۹ گسل معکوس برداشت شده از منطقه صورت پذیرفت.

با توجه به توضیحات ذکر شده در بالا در مجموع سه فاز در این محدوده تفکیک شد.

فاز A: شامل ۱۱ گسل معکوس و با زاویه  $61^\circ = 2S$  در جهت ساعتگرد.

فاز B: شامل ۹ گسل معکوس و با زاویه  $46^\circ = 2S$  در جهت ساعتگرد.

فاز C: شامل ۱۰ گسل معکوس و با زاویه  $116^\circ = 2S$  در جهت ساعتگرد.

### فازها

پس از محاسبه و تفکیک فازهای تنش دیرین با استفاده از روش فرای همان طور که ذکر شد سه فاز A, B, C از داده‌های لغزش گسلی تفکیک گردید که نمودارهای گل‌سرخی، دایره مور و موقعیت محورها در هر فاز تفکیک شده نمایش داده شد.

در کار صحراوی و با برداشت صفحات گسلی گردآوری شد.

### ۱- روش کار

به منظور تفکیک فاز ابتدا باید بعضی از پارامترهای مورد نیاز را محاسبه کرد که شامل:

#### برآورده دو زاویه جدید برای هر گسل

یکی از این زوایا، دو برابر زاویه راستا است و دیگری زاویه‌ای است که b (راهنمای ریک) نامیده می‌شود. بیشینه هر دو زوایا  $360^\circ$  درجه است. مقدار b از فرمول  $b = \arctan(\tan\lambda/\cos\delta)$  محاسبه می‌شود.

گاهی نتیجه بدست آمده را  $180^\circ$  درجه افزایش می‌دهیم تا مطمئن شویم که جهت بیانگر b در چارک ریک اندازه‌گیری شده است.

**بازسازی زوایای راهنمای ریک بر روی یک صفحه بزرگ کاغذ** (شکل ۹) رسم محورهای افقی و قائم از یک مبدأ که محور سمت راست جهت مرجع است (b=0).

برای هر گسل جهت راهنمای ریک را رسم نموده و خطی راست از مبدأ به سمت خارج و زاویه b به صورت ساعتگرد از محور مرجع  $b=0$  جدا می‌شود.

**بازسازی زوایای دو برابر شده راستا در یک صفحه شفاف به شرح زیر است** (شکل ۱۰)

الف- علامت گذاری یک نقطه مرکزی و رسم دایره‌ای به آن مرکز

ب- جهت مرجع  $0^\circ$  (همان راستا است) که شعاع پایینی است.

ج- برای هر گسل، نقطه‌های بر روی دایره که در زاویه  $2S$  قرار می‌گیرند را علامت زده و نامگذاری می‌نماییم (به صورت ساعتگرد در اطراف دایره از محور مرجع  $2S$ ).

#### مطلوبت دادن دو نمودار

کاغذ شفاف و کاغذ سفید را بر هم منطبق می‌کنیم و با آزمایش و خط، موقعیت و جهت یافته‌گی را به صورتی که هر نقطه در صفحه شفاف بر روی خط هم نام خودش در صفحه زیرین قرار گیرد، تنظیم می‌کنیم (شکل ۱۱).

نکته ۱- نقطه مرکزی دایره باید روی خطی با محور قائم قرار بگیرد (شکل ۱۱).

نکته ۲- نقطه نمایشگر هر گسل باید روی خطی که نمایانگر همان گسل است قرار گیرد تا با شرایط تنش اندرسوئی سازگار باشد (شکل ۱۱).

### وضعیت داده‌ها و تفسیر ناهمخوانی‌ها

- اگر شیب کمتر از  $12^\circ$  درجه باشد، گسل نباید در این آزمایش وارد شود. زیرا تنشی که آن را ایجاد کرده، به احتمال اندرسوئی نبوده است.



## ۲- تحلیل فازها

### فاز A

محاسبه شده  $\sigma_1$  و  $\sigma_2$  مطابقت بسیار خوبی را نشان می‌دهند. محور اصلی NE  $\sigma_3$  افقی و محور اصلی  $\sigma_p$  ۵۰ درجه به سوی SW میل دارد. محور اصلی NE  $\sigma_1$  بوده و تقریباً ۱۰ درجه میل دارد (شکل ۱۴-۳).  
 دایره مور محاسبه شده شکل میدان تنش را از فرمول  $R = \frac{\sigma_2 - \sigma_3}{\sigma_1 - \sigma_3}$  با  $0/88$  نشان می‌دهد که نشان‌دهنده شکل میدان تنش کلوچه‌ای می‌باشد. در این فاز غالب گسل‌ها در فضای بین سه صفحه اصلی تنش قرار می‌گیرند (شکل ۱۴-۴).

### پهنه برشی در منطقه

در بخش باختری گسل میامی، این گسل با گسل چاه سیدآباد پهنه برشی را ایجاد کرده‌اند که شاخه‌های منشعب شده از آنها را می‌توان با عنوان شکستگی‌های برشی درون یک زون برشی معرفی کرد. حد شمالی این زون، گسل میامی با مؤلفه امتداد لغز راستگرد و مؤلفه شیب لغز راندگی و حد جنوبی آن، گسل چاه سیدآباد با مؤلفه شیب لغز و امتداد لغز راستگرد است (شکل ۱۵).  
**- شکستگی نوع R در منطقه:** این شکستگی‌ها برای سهولت معرفی، با عنوان  $R_p$  و  $R_s$  نامیده می‌شوند که با گسل میامی به ترتیب زاویه‌های ۴۰ و ۳۵ درجه می‌سازند. سوی حرکت این سه شکستگی راستالغز راستبر است که همسو با سوی حرکت پهنه برشی در منطقه می‌باشد.

**- شکستگی نوع  $R'$  در منطقه:** این شکستگی‌ها برای سهولت معرفی با عنوان  $R_p$  و  $R_s$  مشخص شده‌اند.  $R_p$  با مرز شمالی پهنه برشی (گسل میامی) زاویه ۵۵ درجه می‌سازد و  $R_s$  با مرز جنوبی پهنه برشی (گسل چاه سیدآباد) زاویه ۸۰ درجه می‌سازد. لغزش این شکستگی‌ها ناهمسو با راستای حرکت پهنه برشی است.  
**- شکستگی‌های نوع X در منطقه:** گسل‌های دوچیله (X)، کال طاقی (X<sub>p</sub>) و آب آسمانو (X<sub>s</sub>) با روند شمال خاوری-جنوب باختری از این جمله‌اند و با گسل میامی به ترتیب زاویه‌های ۶۰ و ۵۵ درجه می‌سازند. این گسل‌ها دارای سازوکار چپ‌گرد و با پهنه برشی ناهمسو می‌باشند.

### نتیجه‌گیری

۱. گسل میامی پهنه گسلی باراستای خاور-شمال خاوری باشیب زیاد و به سمت جنوب دارای سازوکار معکوس با مؤلفه راستالغز راستگرد است. این گسل در بخش پایانی به شاخه‌هایی تقسیم می‌شود که شاخه‌های ارمیان و قدس از آن جمله‌اند.
۲. داده‌های لغزش گسلی برداشت شده از محدوده باختری گسل میامی نشان می‌دهند که گسل میامی دارای راستای NE، گسل ارمیان راستای ENE و گسل قدس، راستای NNE دارند. شیب تمامی این گسل‌ها بیش از ۵۰ درجه

نمودار گل سرخی گسل‌های شرکت کننده در این فاز راستای خاور-شمال خاور و شبیه ۷۰ تا ۸۰ درجه را برای این گسل‌ها نشان می‌دهند (شکل ۱۴-۵).  
 محورهای اصلی تنش محاسبه شده با استفاده از روش معکوس سازی در فاز A موقعیت محور اصلی  $\sigma_3$  NW افقی و محور اصلی  $\sigma_p$  را با ۴۵ W-SW درجه میل نشان می‌دهد. محور اصلی  $\sigma_2$  ۵۰ درجه به سمت ENE میل دارد (شکل ۱۴-۶).

محورهای کشش و فشارش (P,T) محاسبه شده در این فاز با محورهای اصلی محاسبه شده  $\sigma_1$  و  $\sigma_2$  مطابقت بسیار خوبی را نشان می‌دهند. محور اصلی NE  $\sigma_3$  افقی و محور اصلی  $\sigma_p$  ۵۰ درجه به سوی SW میل دارد. محور اصلی NE  $\sigma_1$  بوده و تقریباً ۱۰ درجه میل دارد (شکل ۱۴-۷) دایره مور محاسبه شده شکل میدان تنش را از فرمول  $R = \frac{\sigma_2 - \sigma_3}{\sigma_1 - \sigma_3}$  با ۰/۰۷ نشان می‌دهد که نشان‌دهنده شکل میدان تنش دوکی است. همان‌گونه که مشاهده می‌شود قطب اغلب گسل‌های موجود در این فاز بر روی صفحه  $\sigma_p$  قرار دارد (۱۴-۷).  
 نمودار گل سرخی گسل‌های شرکت کننده در این فاز دو راستای N-NE و E-SE و شبیه ۴۰ تا ۵۰ درجه و ۶۰ تا ۷۰ درجه را برای این گسل‌ها نشان می‌دهد (شکل ۱۴-۸).

محورهای اصلی تنش محاسبه شده در این فاز مانند فاز A موقعیت محور اصلی  $\sigma_3$  NW افقی و محور اصلی  $\sigma_p$  را W-SW با ۷۵ درجه میل نشان می‌دهد. محور اصلی  $\sigma_2$  ۲۰ درجه به سمت ENE میل دارد (شکل ۱۴-۹).  
 محورهای کشش و فشارش (P,T) محاسبه شده در این فاز با محورهای اصلی محاسبه شده  $\sigma_1$  و  $\sigma_2$  مطابقت نسبتاً خوبی را نشان می‌دهند. محور اصلی SE  $\sigma_3$  افقی و محور اصلی  $\sigma_p$  ۷۰ درجه به سوی W دارد. محور اصلی  $\sigma_p$  ۶۰ درجه به سمت ENE میل دارد (شکل ۱۴-۱۰).

دایره مور محاسبه شده شکل میدان تنش را از فرمول  $R = \frac{\sigma_2 - \sigma_3}{\sigma_1 - \sigma_3}$  با ۰/۲۷ نشان می‌دهد که نشان‌دهنده شکل میدان تنش دوکی است. در این فاز هم قطب اغلب گسل‌ها بر روی صفحه  $\sigma_p$  قرار گرفته است (شکل ۱۴-۱۱).

### فاز C

نمودار گل سرخی گسل‌های شرکت کننده در این فاز راستای NE و شبیه ۴۰ درجه و غالباً ۸۰ تا ۹۰ درجه را برای این گسل‌ها نشان می‌دهد (شکل ۱۴-۱۲).  
 محورهای اصلی تنش محاسبه شده در این فاز نیز بادو فاز A و B هماهنگی خوبی را نشان می‌دهند. موقعیت محور اصلی  $\sigma_3$  NW افقی و محور اصلی  $\sigma_p$  با ۷۵ درجه پلاژ به سوی S و محور اصلی  $\sigma_1$  ENE و تقریباً افقی است (شکل ۱۴-۱۳).  
 محورهای کشش و فشارش (P,T) محاسبه شده در این فاز با محورهای اصلی

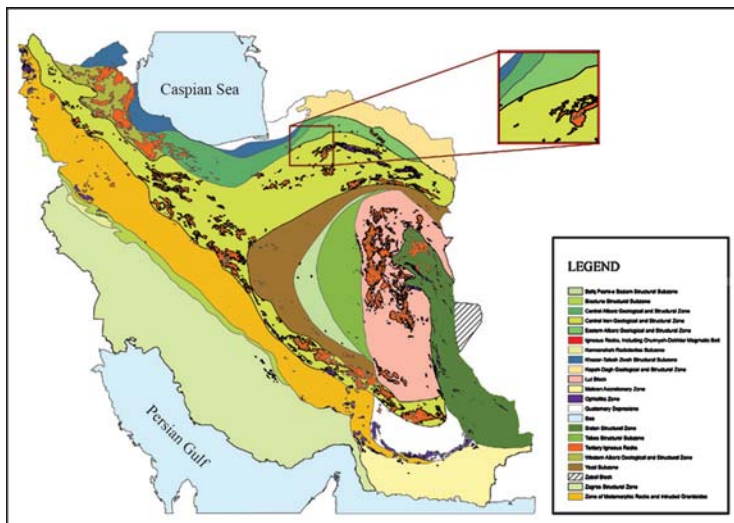
۶. دوایر مور، شکل میدان تنش محاسبه شده را در فازهای A, B, C به ترتیب ۰/۲۷ و ۰/۰۷ نشان می‌دهند که گویای شکل بیضوی تنش دوکی در فازهای A و B و شکل بیضوی تنش کلوچه‌ای در فاز C می‌باشد.
۷. محورهای کوتاه شدگی و دراز شدگی (P,T) محاسبه شده با موقعیت محورهای اصلی محاسبه شده  $\sigma_1$ ,  $\sigma_2$  در هر سه فاز مطابقت بسیار خوبی را نشان می‌دهند.
۸. نمودارهای گسل سرخی نشان می‌دهند که در فاز A راستای گسل‌ها E-NE در فاز B دو راستای N-NE و E-SE و در فاز C گسل‌ها راستای NE دارند. این گسل‌ها در هر سه فاز پرشیب می‌باشند.
۹. گسل میامی در بخش شمالی و گسل چاه سیدآباد در بخش جنوبی منطقه با سازوکار معکوس با مؤلفه راستالغز راستگرد، پهنه برشی راستبری را ایجاد سه شکستگی نوع R و دو شکستگی کرده اند که نوع 'R و سه شکستگی نوع X در آن قابل شناسایی می‌باشد.

بوده و میل خط‌خش‌های برداشت شده از آنها کمتر از ۳۰ درجه است که مؤلفه راستالغز بزرگی را در این محدوده نشان می‌دهد.

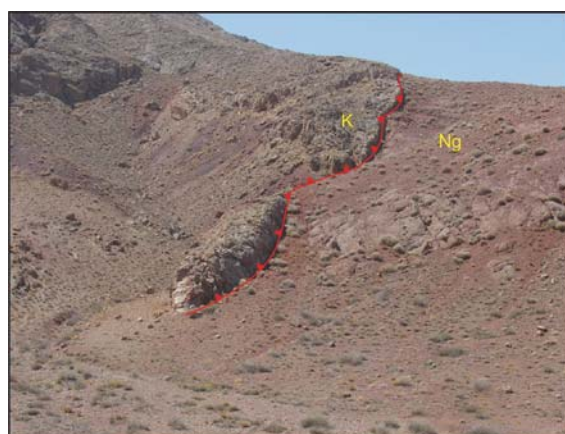
۳. محورهای اصلی تنش محاسبه شده در روش p-t Axess در سه محدوده گسل میامی، قدس و ارمیان، محور اصلی  $\sigma_1$  را در هر سه منطقه افقی نشان می‌دهند. این محور در محدوده میامی ESE, در محدوده ارمیان NNE و در محدوده قدس SSE محاسبه شده است. محور اصلی  $\sigma_2$  در هر سه محدوده ۳۰ تا ۴۰ درجه به سمت NNW تا WNW میل دارد.

۴. با استفاده از روش معکوس سازی فرای از ۹۳ داده لغزش گسلی برداشت شده ۳ فاز تنش دیرین A, B, C در منطقه تعییک شد.

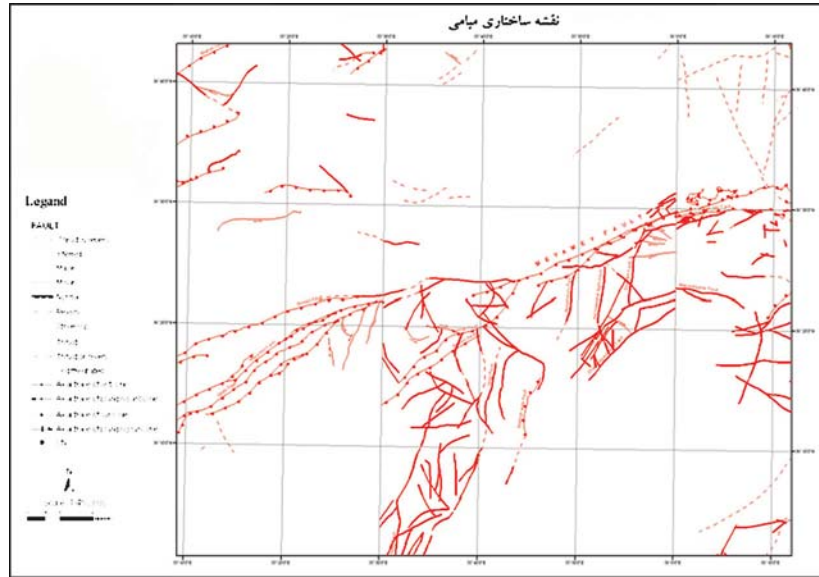
۵. موقعیت محورهای اصلی تنش در این سه فاز با یکدیگر هماهنگ بوده و به طور کلی موقعیت محور اصلی  $\sigma_1$  NW و افقی، موقعیت محور اصلی  $\sigma_2$  W-SW با پلاتر ۵۰ تا ۷۵ درجه و موقعیت محور اصلی  $\sigma_3$  ENE با میل ۰ تا ۲۰ درجه است.



شکل ۱- محدوده مورد مطالعه در نقشه ساختاری ۱:۱۰۰۰۰۰۰ ایران (سهندي، ۱۳۸۳).



شکل ۲- اثر گسل میامی در روستای محمدآباد که آهک‌های کرنگولومرای نئوژن رانده است (نگاه W-SW).



شکل ۳- نقشه زمین شناسی - ساختاری گسل میامی و شاخه های آن که از نقشه های زمین شناسی ۱:۱۰۰۰۰۰ آرمیان، ری آباد، جاجرم، عباس آباد، میامی و بسطام (سازمان زمین شناسی کشور) تهیه شده است.



شکل ۵- صفحه گسل میامی در مرز واحدهای  $K_1^1$  و  $E_m^{scm}$  که سازو کار معکوس چپ بر روی این گسل محتمل است.



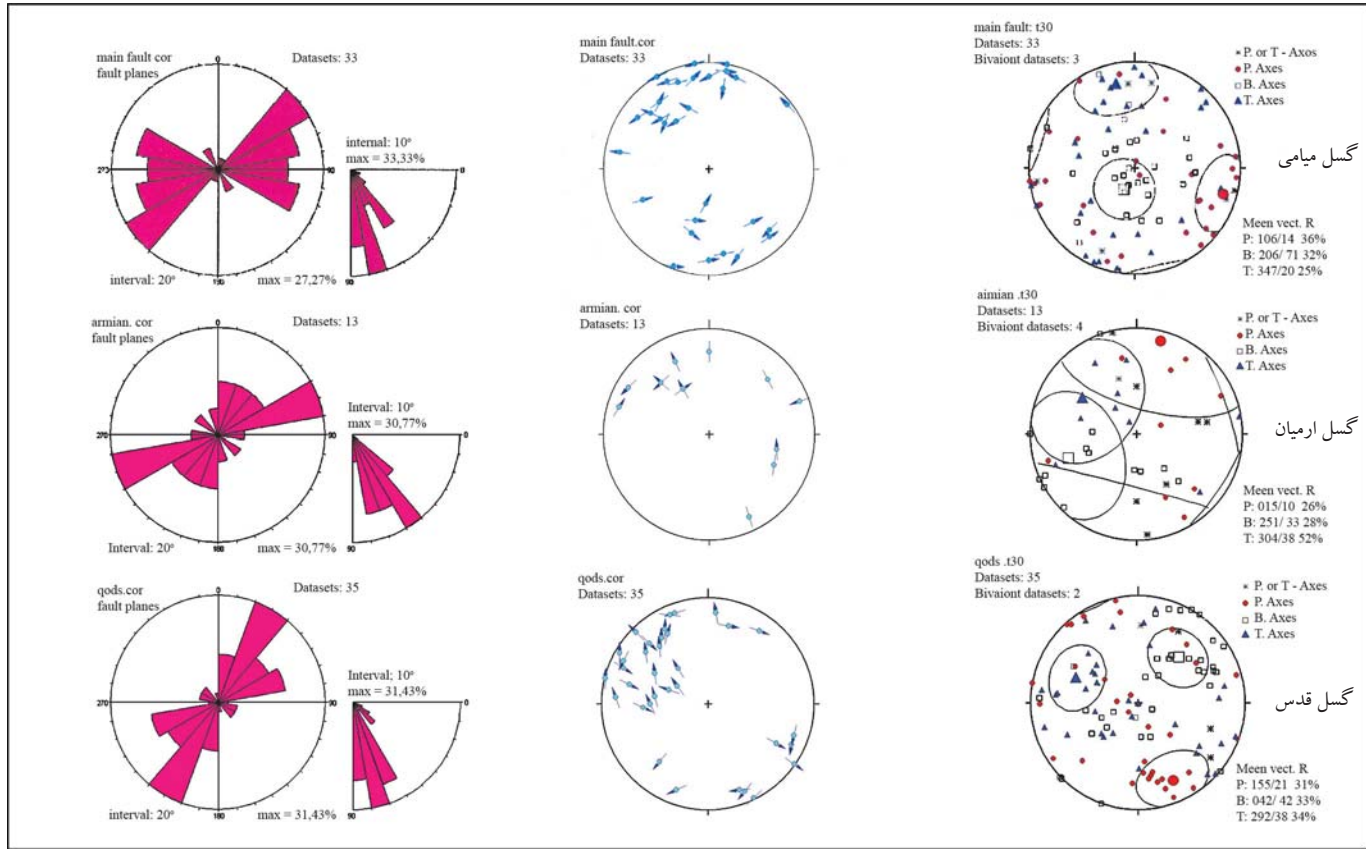
شکل ۴- گسل راستالغز راستبر و وضعیت صفحه گسل N70E-90 و خط خشن W-S70W 15 (نگاه N).



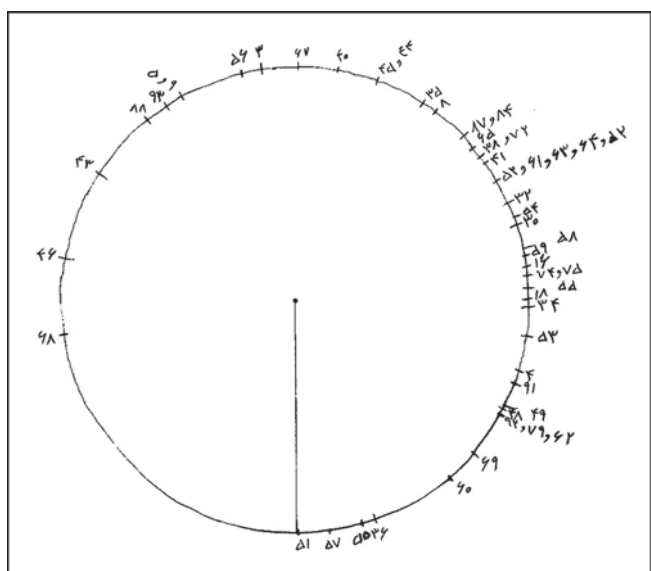
شکل ۷- راندگی قدس با وضعیت صفحه گسل N61E-70SE و خط خشن 60-S20W که سازو کار معکوس با کمی مؤلفه چپ بر را نشان می دهد.



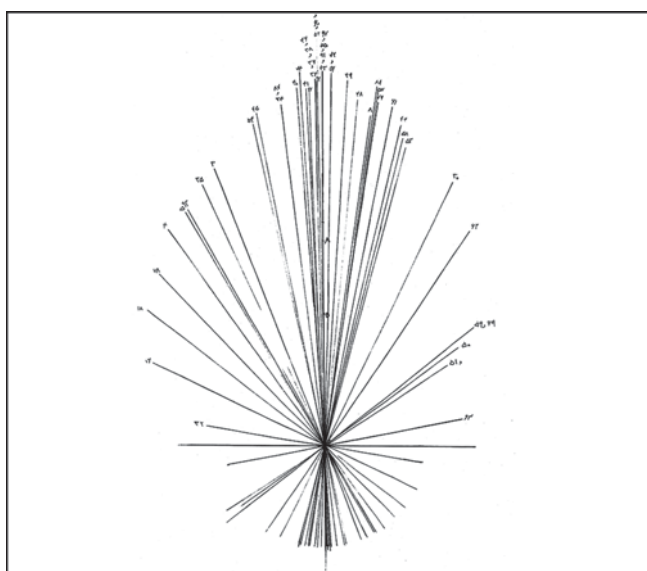
شکل ۶- گسل میامی در مرز بین سنگ آهک های کرتاسه و سنگ جوش متوسط لایه نئوزن با وضعیت صفحه گسل N28W-76SW و خط خشن 46- N43W که سازو کار معکوس با مؤلفه راستبر را نشان می دهد.



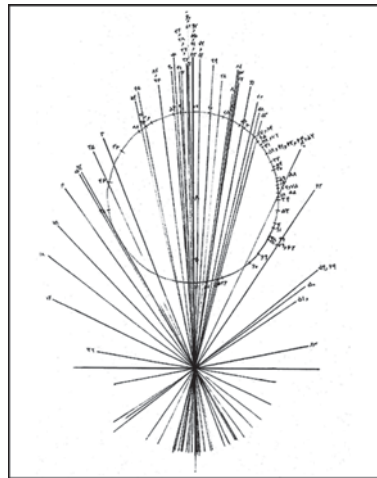
شکل ۸- نمودار گل سرخی، نمودار هوپنر و محورهای اصلی محاسبه شده به روش p-t axes برای گسل‌های برداشت شده از محدوده‌های گسل میامی، گسل ارمیان و گسل قدس



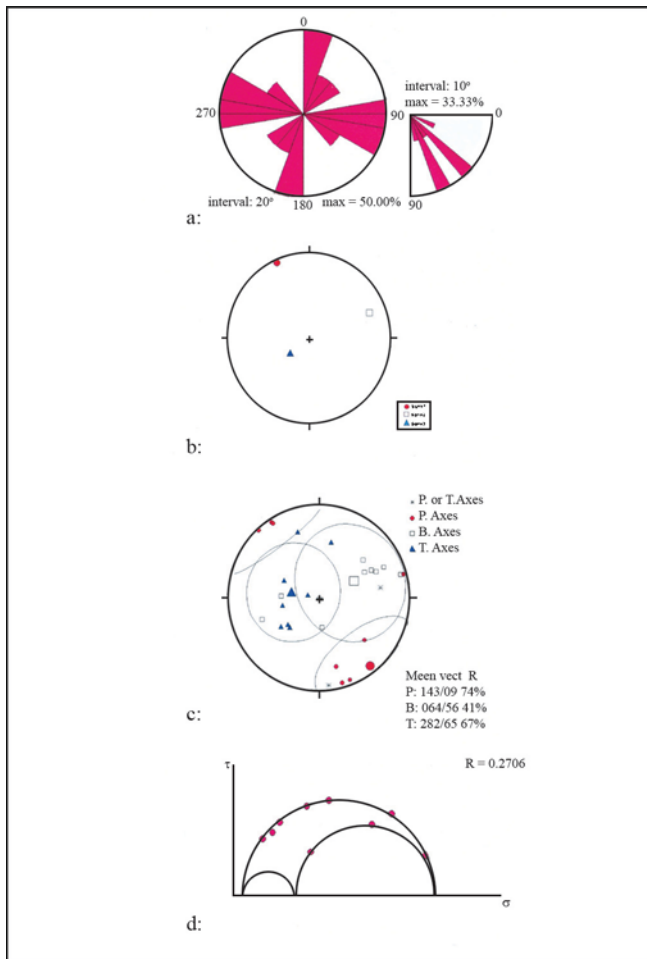
شکل ۱۰- زوایای دو برابر شده راستا (2S) محاسبه شده برای گسل‌های معکوس.



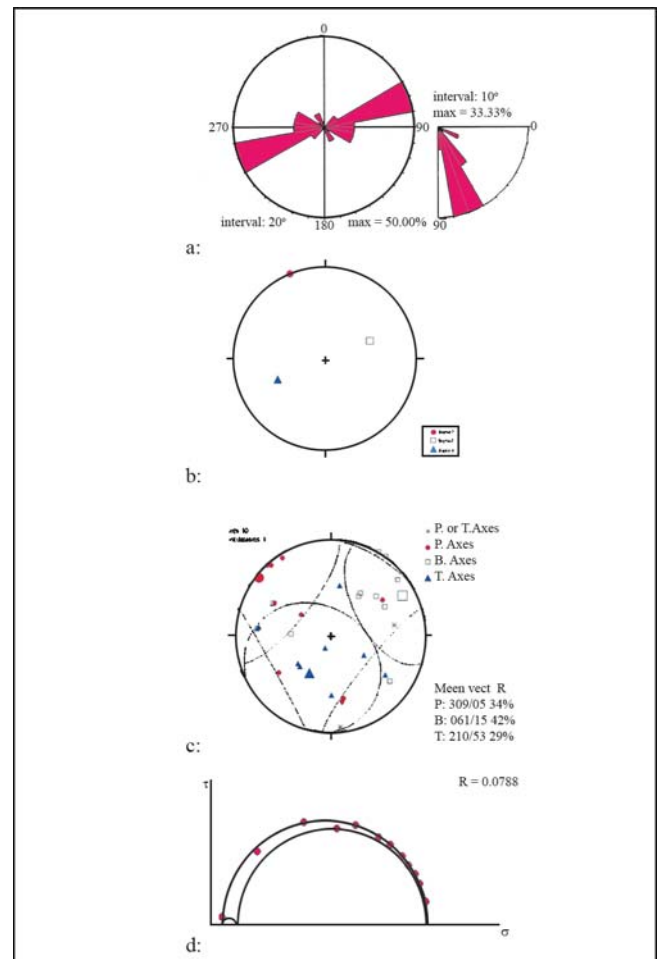
شکل ۹- بازسازی زوایای راهنمای ریک بر روی یک صفحه کاغذ برای گسل‌های معکوس برداشت شده.



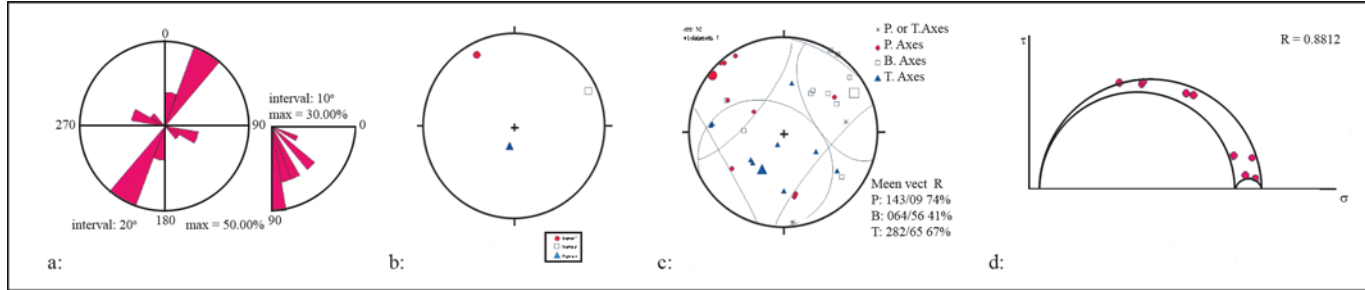
شکل ۱۱- تصویر قرارگیری دو نمودار  $b$  و  $2S$  بر روی همدیگر برای شناسایی فازهای تنش.



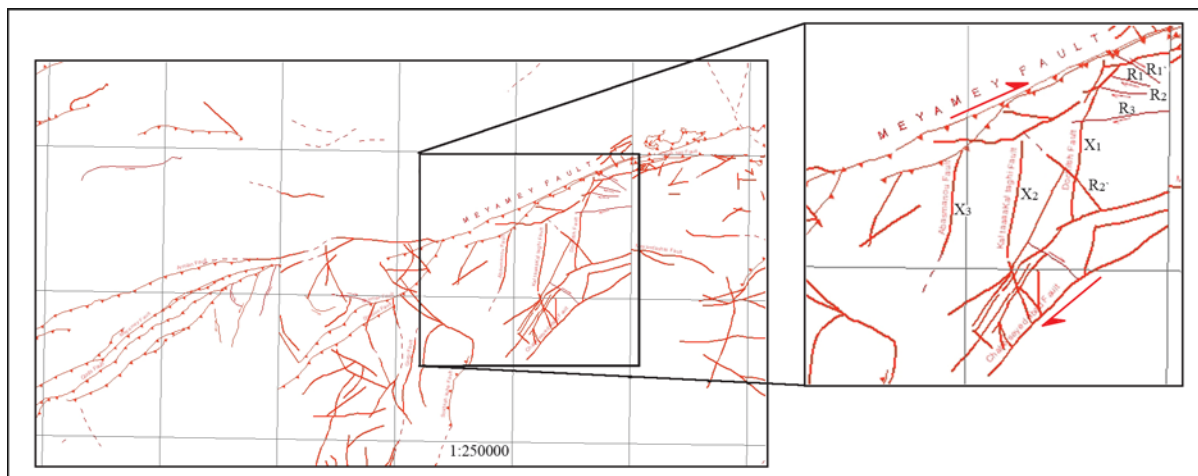
شکل ۱۳- a) نمودار گل سرخی صفحه‌های گسلی در فاز B، b) موقعیت محورهای تنش در فاز B، c) موقعیت محورهای (P,T) تنش فاز B، d) دایره مور سه بعدی مربوط به فاز B



شکل ۱۲- a) نمودار گل سرخی صفحه‌های گسل در فاز A، b) موقعیت محورهای اصلی تنش در فاز A، c) موقعیت محورهای (P,T) تنش فاز A، d) دایره مور سه بعدی مربوط به فاز A



شکل ۱۴- a) نمودار گل سرخی صفحه‌های گسلی در فاز C، b) موقعیت محورهای اصلی تنش در فاز C، c) موقعیت محورهای (P,T) تنش فاز C (دایره مور سه بعدی مربوط به فاز C)



شکل ۱۵- نمایی از پهنه برشی و انواع شکستگی‌های متداول آن ( $X, R, R'$ ) در گستره حداصل گسل میامی در شمال و گسل چاه سیدآباد در جنوب.

## کتابنگاری

- آفاباتی، ع.، ۱۳۸۳- زمین‌شناسی ایران، ۵۸۶ صفحه  
امینی چهرق، م.ر.، ۱۳۸۰- نقشه زمین‌شناسی ۱:۱۰۰۰۰۰۰ میامی، سازمان زمین‌شناسی کشور  
جاوید فخر، ب.، ۱۳۸۴- بررسی هندسه و دینامیک گسل‌ها در گستره میانه، پایان‌نامه کارشناسی ارشد، پژوهشکده علوم زمین، سازمان زمین‌شناسی و اکتشافات معدنی کشور  
جهفریان، م.ب.، ۱۳۸۳- جلایی، ع.، ورقه ۱:۱ ارمیان، سازمان زمین‌شناسی کشور  
حاجی‌حسینی، ا.، قاسمی، ا.، ۱۳۸۲- ورقه ۱:۱۰۰۰۰۰ بسطام، سازمان زمین‌شناسی کشور  
خلعتبری، م.، همکار، ۱۳۷۸- ورقه ۱:۱۰۰۰۰ عباس آباد، سازمان زمین‌شناسی کشور  
درویش زاده، ع.، ۱۳۷۰- زمین‌شناسی ایران، انتشارات دانشگاه امیرکبیر  
سلامتی، ر.، ۱۳۸۲- ورقه ۱:۱ ری آباد، سازمان زمین‌شناسی کشور  
سهندی، م.ر.، ۱۳۸۳- نقشه ساختاری ایران ۱:۱۰۰۰۰۰، سازمان زمین‌شناسی کشور  
نبوی، م.ح.، ۱۳۵۵- دیاچه‌ای بر زمین‌شناسی ایران، ۹ صفحه

## References

- Anderson, E. M., 1951- The dynamics of faulting and dyke formation with application to Britain, Oliver & Boyd, Edinburgh, 206 pp.
- Angelier, J., 1979- Determination of the mean principal direction of stresses for a given fault population: Tectonophys., v. 56, p. T17-T26.
- Angelier, J., 1984 - Tectonic analysis of fault slip data sets. J. Geophys. Res 1389 p. 5835-5848 Carey, E., Brunier, B., 1974 - Analyse théorique et numérique d'un modèle mécanique élémentaire appliquée à l'étude d'une population de failles: C.R. Acad. Sci. Paris. D.
- Carey, E., Brunier, B., 1974- Analyse théorique et numérique d'un modèle mécanique élémentaire appliquée à l'étude d'une population de failles: C.R.
- Celerier, B., 1995- Tectonic regime and slip orientation of reactivated faults, Geophysical Journal Etchecopar, A., Vasseur, G. & Daignieres, M., 1981- An invers problem in microtectonics for the determination of stress tensor from fault striation analysis: J. Struct. Geol., v. 3, p.51-65.
- Etchecopar, A., Vasseur, G. & Daignieres, M., 1981- an invers problem in microtectonics for the determination of stress tensor from fault striation analysis: J. Struct. Geol., v. 3, p. 51-65.
- Fry, N., 1999- Striated faults: visual appreciation of their constraint on possible paleostress
- Fry, N., 2003- A geometric test for possible Andersonian stress using striated faults Journal of structural Geology. V. 25, p. 25 897-901
- Gephart, J.W., Forsyth, D.W., 1984 - An improved for determining the regional stress tensor using earthquake focal mechanism data: an application to the San Fernando earthquake sequence: J. Geophys. Res., v. 89, p. 9305-9320.
- Hoppner, R., 1955- Tectonic in schiefergebirge, Geo. Rdsch., vol. 44, p. 26-58, in: for stickenside lineation populion; an attempt. To modify Arthaud's method, Journal of structural geology, v,7, p. 73-82
- Nemcok, M., Lisle, R.J., 1995- A stress inversion procedure for polyphase fault/slip data sets: J. Struct. Geol., v. 17, no. 10, p. 1445-1453.
- Nemcok, M., Lisle, R.J., 1995- a stress inversion procedure for polyphase fault/slip data sets: J. Struct. Geol., v. 17, no. 10, p. 1445-1453.